文章编号: 1000-8152(2010)09-1269-04

视角和旋转角变化时梯度方向直方图的转换

刘 清, 吴志刚, 郭建明, 李龙利

(武汉理工大学 自动化学院, 湖北 武汉 430063)

摘要:使用梯度方向直方图(HOG)来检测目标,需要大量的,有代表性的样本来训练分类器.一个目标的HOG,其特征在不同的摄像机视角和不同的光轴旋转角下,并不相同.因此,使用不同视角下的混合样本集来训练分类器时,目标检测的准确率受到样本噪声的影响将会降低.基于摄像机成像的基本原理,提出了一种转换算法,可以把一个样本在某个视角下的HOG特征转换成另一个视角下的HOG特征.这样既降低了分类器训练时需要采集的正负样本数量,又提高了支持向量机(SVM)分类的准确性,从而提高了目标检测的准确性.大量目标检测实验结果表明本文提出的算法是有效的.

关键词: 目标检测; 视角; 旋转角; 梯度方向直方图HOG; 支持向量机

中图分类号: TP391.41 文献标识码: A

The conversion of histograms of oriented gradient in different vision-angle and rotation-angle

LIU Qing, WU Zhi-gang, GUO Jian-ming, LI Long-li (School of Automation, Wuhan University of Technology, Wuhan Hubei 430063, China)

Abstract: In applying the histograms of oriented gradient(HOG) to detect an object, we need a great number of representative image samples to train the classifier. Since the HOG characteristic changes in different vision-angle and different rotation-angle, the detection accuracy will be decreased if images of different vision-angle or rotation-angle are used to train the classifier. By the imaging principle of the camera, we develop an algorithm for converting the HOG characteristic in one vision-angle and rotation-angle to the HOG characteristic in another vision-angle and rotation-angle. Thus, the required number of positive and negative samples for training the classifier is reduced and the classification accuracy of the support-vector-machines(SVM) is raised, eventually resulting in an increase in the object detection accuracy and robustness. Many object-detection experimental results show that this conversion algorithm is effective. This indicates that the proposed algorithm is an efficient tool for HOG-based object detection in practical engineering projects.

Key words: object-detection; vision-angle; rotation-angle; histograms of oriented gradient; SVM

1 引言(Introduction)

在模式识别应用领域虽然有一些人脸、指纹等识别的研究成果[1],但人体检测却仍是计算机视觉应用中的核心问题.由于光照、目标自身姿态的变化和目标颜色的多样性等影响,人体这个目标在不同的场景中变化差异非常大,所以导致了人体检测非常困难,研究成果少.随着模式识别研究的深入和应用的需求,近年来文献中也出现了一些人体检测方法研究成果,这些方法根据实现的途径可以分为两类:第一类是基于局部模型的方法,采取从部件到整体的途径,如文献[2~4]的工作是这类方法中有代表性的成果.第二类方法是基于单一检测窗口的方法,在尺度和位置空间应用分类器判断所有的子图

像是否为目标. 如文献[5,6]的工作在该类方法中具有代表性.

2005年Dalal等人提出了一种性能优异的单一窗口人体检测方法^[7],该方法是利用小块上的梯度方向直方图HOG(histograms of oriented gradient)来描述图像,实验结果证明,该描述方法结合支持向量机SVM(support vector machine)分类器可以有效地区分出人体和非人体. HOG&SVM检测器是通过对目标轮廓的统计性来增强目标检测的鲁棒性,那么它就需要大量有代表性的正负样本来训练分类器,因此样本的采集质量直接影响到了检测的准确性.

由于不同高度的固定摄像机的视角不同, 所以目标的轮廓会发生变化, 如果不考虑视角, 将各个

视角的正样本放在一起训练,由于样本之间的差异性,会影响SVM的分类性能.但要实现规模化采集各个视角的样本又需要耗费大量的人力物力,因此,本文提出了一种视角直接转换算法,通过针对某一视角下样本的梯度方向直方图进行换算,从而推出另一视角下样本所对应的梯度的方向直方图,进而用推算得出样本的HOG训练分类器,能够进一步提高HOG检测的效果和鲁棒性,也大大降低了所需的样本集的数量要求.

另外,对于车辆等刚性目标的旋转角度问题,这种刚性目标以不同的方位呈现在图像的时候,由于其HOG特征变化更大,会大大减弱检测器的性能.所以论文也提出了针对这种旋转角对HOG的影响,以及在不同旋转角下的HOG的变换.

2 问题建模(Modeling)

摄像机的视角有3个: α , β , γ , 其中 α 为水平旋转角, 影响目标图像水平方向梯度, 不影响目标图像垂直方向梯度, β 为俯仰角, 影响目标图像垂直方向梯度, 不影响目标图像水平方向梯度, 不影响目标图像水平方向梯度, γ 为绕光轴的旋转角, 同时影响目标图像水平方向和垂直方向梯度. 这3个视角对目标HOG的影响是不同的, 以下分别讨论.

2.1 俯仰角对HOG的影响(Influence of pitch angle on HOG)

高度为H, 距离摄像机光心为L的目标, 在摄像机的俯仰角分别为 β_1 , 0(成像平面与水平地面的夹角)时, 应用摄像机线性模型即针孔模型, 其成像模型如图1所示.

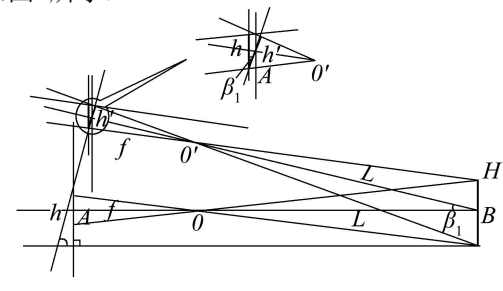


图 1 摄像机成像的针孔模型

Fig. 1 Pinhole model of camera imaging

图1中H是人体的高度, h是摄像机平视下人体在图像上所成像的高度, h'是摄像机的俯视角为 β_1 时人体在图像上所成像的高度, f为摄像机的焦距. 由于一般认为目标离光心的距离L >> f, 经过仿射成像可以求得

$$h'(\beta_1) = h \cdot \cos \beta_1 = H \cdot (f/L) \cdot \cos \beta_1;$$

同理如果已知俯仰角 β_2 时目标在图像上的高度为 $h'(\beta_2) = h \cdot \cos \beta_2$,得到不同视角下目标在图

像中的高度的系数比:

$$C(\beta_1, \beta_2) = \frac{\cos \beta_2}{\cos \beta_1}.$$
 (1)

根据梯度定义,图像中某点(x,y)的梯度大小和方向分别为:

$$\nabla(x,y) = \sqrt{\mathrm{d}^2 x + \mathrm{d}^2 y}, \ \theta(x,y) = \arctan \frac{\mathrm{d}y}{\mathrm{d}x}.$$
 (2)

摄像机俯仰角发生变化时, 其影响的是y方向的分量, 在足够近似意义下, 根据式(1)有

$$\Delta y' = C(\beta_1, \beta_2) \cdot \Delta y,\tag{3}$$

这样变化后的摄像机俯仰角 $\theta'(x,y)$ 为

$$\theta'(x,y) = \arctan(\tan[\theta(x,y)] \cdot \frac{1}{C(\beta_1,\beta_2)}), \quad (4)$$

则图像中某点(x,y)在俯仰角为 β_2 的梯度和俯仰角为 β_1 时的梯度的关系为:

$$\nabla_{\beta_1}(x,y) = \sqrt{d^2x + \tan^2\theta(x,y) \cdot d^2x},\tag{5}$$

$$\nabla_{\beta_2}(x,y) = \sqrt{d^2x + \frac{\tan^2\theta(x,y)}{C^2(\beta_1,\beta_2)} \cdot d^2x},$$
 (6)

$$\nabla_{\beta_2}(x,y)\cdot\sqrt{(1+\tan^2\theta(x,y))}=$$

$$\nabla_{\beta_1}(x,y) \cdot \sqrt{\left(1 + \frac{\tan^2 \theta(x,y)}{C^2(\beta_1,\beta_2)}\right)},\tag{7}$$

$$\nabla_{\beta_2}(x,y) = \nabla_{\beta_1}(x,y) \cdot \sqrt{\frac{1 + \frac{\tan^2 \theta(x,y)}{C^2(\beta_1,\beta_2)}}{1 + \tan^2 \theta(x,y)}}.$$
 (8)

因此摄像机俯仰角发生变化时,目标图像的梯度方向和梯度都会发生变化.在HOG意义下,在俯仰角 β_1 下图像点(x,y)在梯度方向 $\theta(x,y)$ 上的分量为 $\nabla_{\beta_1}(x,y)$,在俯仰角 β_2 下变换为在梯度方向 $\theta'(x,y)$ 上的分量为 $\nabla_{\beta_2}(x,y)$.通过在梯度方向上重采样,得到的变换算法为

$$\begin{cases}
P_{\beta_2}(\theta'(x,y)) = \\
P_{\beta_1}(\theta(x,y)) \cdot \sqrt{\frac{1 + \tan^2 \theta'(x,y)}{1 + C^2(\beta_1, \beta_2) \tan^2 \theta'(x,y)}}, \\
\forall (x,y) \in \Phi.
\end{cases}$$
(9)

式(9)中 Φ 满 足 $\theta'(x,y)=\arctan\{\tan[\theta(x,y)]\cdot 1/(C(\beta_1,\beta_2))\}$, $P(\theta(x,y))$ 是HOG的概率密度.

梯度方向的值域实际上是 $[0,2\pi)$,提取HOG特征时,视 $\theta(x,y)$ + π 和 $\theta(x,y)$ 为等同的梯度方向,另外由于反正切函数的值域在 $[-\pi/2,\pi/2]$,所以在实际处理中统计HOG时,对于小于0的梯度方向都以加 π 处理,这样HOG的定义域为 $[0,\pi)$,本文将

每 $\pi/9$ 划分成一个bin, 得到9个bin.

这样,相对于 β_1 ,如果 β_2 变大,那么 $C(\beta_1,\beta_2)$ 小于 1, $\theta'(x,y)$ 相对于 $\theta(x,y)$ 就变大,对应到新的HOG的 $\nabla_{\beta_2}(x,y)$ 也较 $\nabla_{\beta_1}(x,y)$ 大,那么在HOG上总体的梯度会向 $\pi/2$ 拢起,如图2所示.相反,如果 β_2 变小,那么 $C(\beta_1,\beta_2)$ 大于1,这样 $\theta'(x,y)$ 相对于 $\theta(x,y)$ 变小,对应到新的HOG的 $\nabla_{\beta_2}(x,y)$ 也较 $\nabla_{\beta_1}(x,y)$ 变小,那么在HOG上总体的梯度会由 $\pi/2$ 向0 π 7拢起,如图3所示.

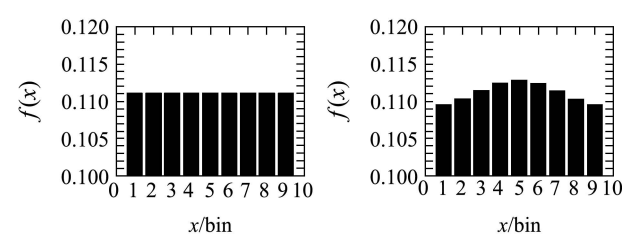


图 2 俯仰角变大对HOG的影响

Fig. 2 HOG's change when pitching angle is largen

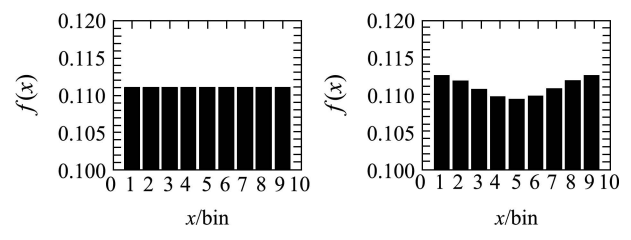


图 3 俯仰角变小对HOG的影响

Fig. 3 HOG's change when pitching angle wane

图像按空间位置均匀的分成相邻的小块, 称为 "cell". 在统计的HOG特征时本文都是以cell来统计梯度方向直方图, 这样随着视角的变化, cell的大小(高度)也随 $C(\beta_1,\beta_2)$ 的变化而变化为

$$h'_{\text{cell}} = C(\beta_1, \beta_2) \cdot h_{\text{cell}}.$$
 (10)

因此一旦摄像机的视角发生变化,只需要对原先某一视角下的大量的HOG特征进行变换,再进行离线的训练,这样的检测器将会更加鲁棒.

2.2 目标旋转角对HOG的影响(Influence of rotation angle of object on HOG)

对人体的检测而言, 摄像机水平旋转角或者是目标旋转角 α , 其HOG变化不是很大, 但是对于刚性目标, 例如汽车其HOG变化就比较大, 所以必须考虑这个因素. 按照2.1节的推算方法对于 α 的变化, 在一定的范围内(不包括遮挡)梯度变换算法为

$$\nabla_{\alpha_2}(x,y) = \frac{1}{\nabla_{\alpha_1}(x,y) \cdot \sqrt{\frac{1}{\frac{C^2(\alpha_1,\alpha_2)}{1 + \tan^2 \theta(x,y)}}}, \quad (11)$$

$$P_{\alpha_2}(\theta'(x,y)) = P_{\alpha_1}(\theta(x,y)) \cdot \sqrt{\frac{1 + \tan^2 \theta'(x,y)}{C^2(\alpha_1, \alpha_2) + \tan^2 \theta'(x,y)}}. \tag{12}$$

 $\forall (x,y) \in \Phi, \Phi$ 满足 $\theta'(x,y) = \arctan(\tan[\theta(x,y)] \cdot C(\alpha_1,\alpha_2)), P(\theta(x,y))$ 是HOG的概率密度.

2.3 光轴旋转角对HOG的影响(Influence of rotation angle of optical on HOG)

摄像机沿光心轴转了 γ 角度,只需要在直方图进行循环移位 γ 操作即可,因此光轴旋转角对HOG的影响如图4所示.

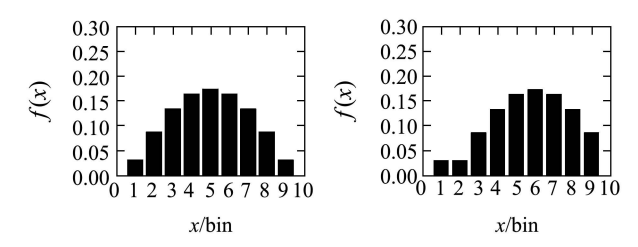


图 4 光轴旋转角对HOG的影响

Fig. 4 HOG's change with change of rotation angle of optical

3 检测实验(Example of detection)

实验中训练数据包括正样本2480个人和其对应的镜像图像,共计4960张正样本训练图像.这些训练样本的拍摄视角基本相同,也就是说俯仰角基本接近0°.2580张没有人的图像作为负样本.测试数据包括已知视角的含有1694个人的656副352*288的图像,以及412副背景照片的负样本,其数据特点是视角、衣服、姿态和光照等变化大.

实验中, Dalal方法的模板大小用的是64*128, cell的大小为8*8, 将所有7*15个block的向量(36维)组合起来可得到3780维的向量. 采用本文提出的直接变换方法变换后cell的大小为7*8, block为7*15, 这样其所对应的模板大小就为64*112. 在实验中都采取了二范数对block内的直方图进行了归一化处理.

由于每个模板的cell的面积比原始的要小, 所以单个的检测框比Dalal的检测速度快, 但是对于同一副图而言, 其检测次数会比与Dalal的多, 所以在检测时间上相差无几.

图5是对数尺度下的DET(detection error tradeoff)曲线,即Miss Rate对FPPW的曲线.由图5可以看出,FPPW低于 10^{-4} 时,本文提出的方法的性能比Dalal的稍差,当FPPW高于 10^{-4} 时,本文提出的方法的性能比Dalal的要好.而在实际应用中FPPW高于 10^{-4} 才是有意义,因此引入本文提出的视角变换的HOG检测方法在实际的应用中就优于Dalal的方法.

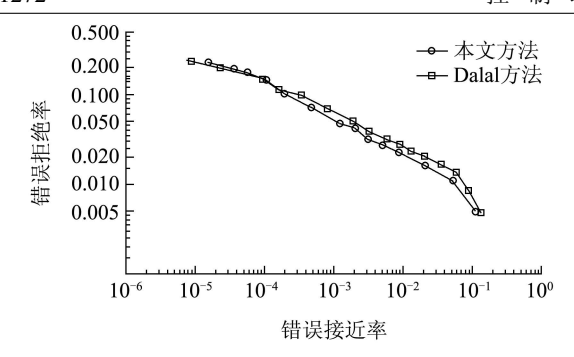


图 5 本文方法与Dalal的方法性能比较

Fig. 5 comparison between Dalal algorithm and our method

图6和图7是直接采用Dalal方法与采用本文所提出的转换方法的HOG方法的一些检测结果. 图6是针对俯仰角有变化的检测结果; 图6(a)是未进行俯仰角变换的HOG检测结果, 可以看得出其中有部分的误报和漏报; 图6(b)是加入了本文转换算法的HOG检测结果, 其结果准确率有明显的改善. 图7主要是针对光轴旋转角有变化的检测结果; 由于光轴旋转角的变化使得Dalal算法的鲁棒性降低, 由图7(a)可见漏报的情况是显见的, 而图7(b)能够正确检测行人.





(a) 未进行俯仰角变换

(b) 进行俯仰角变换

图 6 俯仰角变化情况下的HOG检测结果

Fig. 6 The detection results of HOG algorithm with the change of pitching angle





(a) 未进行光轴变换

(b) 进行光轴变换

图 7 光轴旋转角变化情况下的HOG检测结果 Fig. 7 The detection results of HOG algorithm with the change of optical rotation angle

4 结语(Conclusion)

总结本文的工作和意义主要体现在以下方面:

1) 通过大量的目标检测实验可以看出,采用 Dalal提出的HOG方法进行目标检测时,采用本文的 转换算法后目标检测的准确性和鲁棒性比单纯使用Dalal方法明显地提高了.

- 2) 通过某个确定视角和目标旋转角下样本的HOG,可以直接推算出另一个视角以及其他不同的目标旋转角所对应的HOG,解决了实际工程中正负样本不足,不能很好地训练SVM分类器的问题,为HOG目标检测方法应用于实际工程中提供了一个有效的解决方案.
- 3) 本文提出的转换算法是假定目标离光心的距离 *L* >> *f* 时推导出来的,它适用于室外的监控场景,理论上适合于任意的视角和光轴旋转角.但论文所开展的目标检测实验都是采集实际工程应用中的场景,其视角也在一定的范围之内,比如俯仰角一般是在15°到45°之间,光轴旋转角在0°到15°之间,目标旋转角对于人体这种非刚性的目标没有一个范围来定义它.

参考文献(References):

- [1] 付晓峰, 韦巍. 基于多尺度中心化二值模式的人脸表情识别[J]. 控制理论与应用, 2009, 26(6): 629 633.

 (FU Xiaofeng, WEI wei. Facial expression recognition based on multi-scale centralized binary pattern[J]. Control Theory & Applications, 2009, 26(6): 629 633.)
- [2] MOHAN A, PAPAGEORGIOU C, POGGIO T. Example-Based object detection in images by components[J]. *IEEE Transactions on Pattern Analysis and Machine Intelligence*, 2001, 23(4): 349 361.
- [3] RONFARD R, SCHMID C, TRIGGS B. Learning to parse pictures of people[C] //Proceedings of 6th European Conference on Computer Vision. Berlin, Germany: Springer-Verlag, 2002: 700 714.
- [4] MIKOLAJCZYK K, SCHMID C, ZISSERMAN A. Human detection based on a probabilistic assembly of robust part detectors[C] //Proceedings of 8th European Conference on Computer Vision. Berlin, Germany: Springer-Verlag, 2004: 69 – 82.
- [5] PAPAGEORGIOU C, POGGIO T. A trainable system for object detection[J]. *International Journal of Computer Vision*, 2000, 38(1): 15

 33.
- [6] VIOLA P, JONES M. Detecting pedestrians using patterns of motion and appearance[C] //Proceedings of the IEEE International Conference on Computer Vision. Los Angeles, USA: IEEE Computer Society, 2003: 734 – 741.
- [7] DALAL N, TRIGGS B. Histograms of oriented gradients for human detection[C] //Proceedings of the IEEE Conference on Computer Vision and Pattern Recognition. Los Angeles, USA: IEEE Computer Society, 2005: 886 – 893.

作者简介:

刘 清 (1966—), 女, 教授, 目前研究方向为计算机实时控制和信息系统集成、智能控制技术、智能移动机器人, E-mail: qliu2000@163.com;

吴志刚 (1983—), 男, 硕士研究生, 目前研究方向为智能视频信息处理、图像处理, E-mail: wzg201@163.com;

郭建明 (1962—), 男, 副教授, 目前研究方向为计算机控制、智能系统, E-mail: jmguo62@163.com;

李龙利 (1986—), 男, 硕士研究生, 目前研究方向为智能机器人、图像处理, E-mail: Illlilongli@163.com.